

II-431 壁面噴流における粒子の堆積過程に関する研究(Ⅲ)

九州大学 工学部 学生員○島岡 隆行 正員 栗谷 謙一

九州大学 工学部 正員 桥田 哲也 正員 古賀 雄一

1. まえがき 沈降性粒子を含む壁面噴流は、噴出口の近傍では均一流体の噴流もしくは密度噴流の挙動を示すが、流れの発達に伴って粒子は沈降するため通常の密度噴流とは異なった挙動を示すであろう。本研究は、壁面噴流中ににおける粒子の沈降量、残留濃度分布の予測を最終目的として、沈降性粒子を懸濁する壁面噴流の挙動について検討を加えたものである。

2. 基礎式について 基礎式を得るために際しての仮定は、以下の通りである。①粒子径は一定(沈降速度一定)とする。②スカラの拡散はナオの拡散に比べて充分小さいとし、境界層近似が成立するものとする。①、②の仮定により次の運動方程式、連続の式及び質量保存式が成立する。

$$u \frac{\partial u}{\partial x} + v \frac{\partial u}{\partial y} = \frac{2}{\rho_y} (D_t \frac{\partial u}{\partial y}) - \frac{2}{\rho_x} \left(\frac{p_s - p_e}{p_s p_e} g \right) C dy \quad (1)$$

$$\frac{\partial u}{\partial x} + \frac{\partial v}{\partial y} = 0 \quad (2)$$

$$\frac{\partial (uC)}{\partial x} + \frac{\partial (v - w_b)C}{\partial y} = \frac{2}{\rho_y} (D_t \frac{\partial C}{\partial y}) \quad (3)$$

但し、 u : x 方向の速度

v : y 方向の速度

w_b : 沈降速度(-定)

C : 粒子質量濃度

D_t : 乱流拡散係数

p_s, p_e : 粒子、流体の密度

3. 実験装置及び方法 実験装置を図-1に示す。用いた水路は、長さ 5.4 m, 水深 9.5 cm, 幅 10 cm である。水路底には、堆積する粒子を捕集するために金網を張ったアクリル製の箱(高さ 3 cm × 長さ 50 cm × 幅 10 cm) を長れ方向に並べている。水路上流端にはノズル出口断面が高さ 1 cm × 幅 9 cm の 2 次元ノズルを固定している。また、この水路には噴流による逆行を束縛なく生じさせるために水路後方に貯水槽を設けている。試料としては、平均粒径 25 μm のガラスビーズ($p_s = 2.65$)を用いた。給水タンク(300 l)には、ガラスビーズの堆積を防止するために攪拌装置を取り付けている。流速分布は、直徑 3 mm の超小型プロペラ流速計で測定し、濃度分布は、濁度計で求めた。堆積量は、前述した金網を張った粒子採取箱の中に設けている受け皿に堆積した粒子の乾燥重量より求めた。

4. 結果及び考察 図-2, 3 に流速分布及び濃度分布の流れ方向の一例を示す。流速分布、濃度分布ともにノズル付近を除いてほぼ相似のようである。

図-2, 3 に示す実線は、流速分布(u)、濃度分布(C)をそれぞれ次のように
 $K_1 u = u_0 (y/a_1)^n e^{-d_1 (y/a_1)^2}$, $C = C_0 e^{-d_2 (y/a_2)^2}$ と置き最小二乗法を用いて実測値よりパラメータ u_0, d_1, C_0, d_2 を決定して求めたものである。

図-4～図-6は、以下で定義する平均流速(U)、代表濃度(C_m)、流体の代表幅(B_m)、濃度の代表幅(B_s)、運動量(M_m)、重力束(C_g)と流下距離 x の関係を示す。

$$U = \int_0^\infty u^2 dy / \int_0^\infty u dy, B_m = (\int_0^\infty u dy)^2 / \int_0^\infty u^2 dy, C_m = (\int_0^\infty C dy)^2 / \int_0^\infty C dy$$

$$B_s = \int_0^\infty C_g dy / \int_0^\infty C dy, M_m = \int_0^\infty u^2 dy, C_g = \frac{p_s - p_e}{p_s p_e} g \int_0^\infty C dy$$

積分は、前述の分布決定時のパラメータを用いて行なった。図-4

は平均流速 U と流体の代表幅 B_m の流れ方向の変化を示す。RUN.-

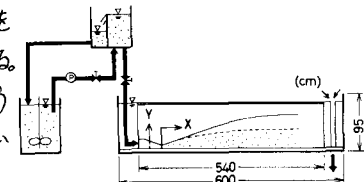


図-1 実験装置

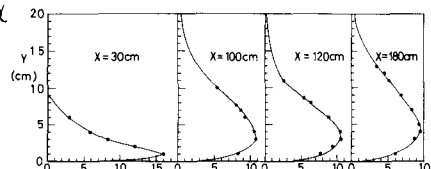


図-2 流速分布

1, 2 は、ノズル出口の噴出量を同一とし初濃度をそれぞれ 1.5 g/l, 7.5 g/l としたものである。平均流速 U は、双方ともノズル付近で急激に減少し、その後あまり減少しない。流体の代表幅 B_m の全体的傾向は、両者ともノズル付近では直線的に増加し均一流体の壁面噴流に近い現象を示しているが、 $x = 140$ cm 以後はあまり増加せずに逆行の減少が認められる。また、流体の代表幅 B_m は、 $x = 70$ cm 以後で初濃度の低い方が高いものより大きくなっている。

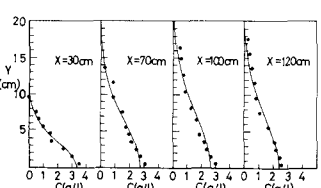


図-3 濃度分布

の減少に及ぼす粒子濃度(密度差)の影響が良く表されている。図-5 K 代表濃度 C, 濃度の代表幅 B_s の流れ方向の変化を示す。代表濃度 C は、U 同様に RUN-1, 2 共にノズル付近で速やかに減少し、その後余り変化をしていない。粒子と流体の代表幅の比 B_s/B_m が流下 K 伴い減少している。このことから、沈降性粒子を含む壁面噴流の特徴の一つかである。図-6 K 運動量 M_m , 重力束 C_y の流れ方向の変化を示す。重力束のオーダーは、運動量 K 比べ約 2 割となっている。双方の和で示される flow force は、ノズル出口付近を除けばほぼ收支はとれているようである。一方、重力束 C_y は、ノズル付近から増加した後、運動量が増加する付近から減少することが解る。沈降性粒子を含む壁面噴流においても濃度流的挙動すなわち濃度差に基づく運動量の回復が認められるようである。沈降性粒子を含む壁面噴流では、前述したように流体、粒子の拡がり幅が異なり、その点を考慮して運動量、粒子双方の連行係数及 over all Rui 数を次のようく定義する。 $E_m = \frac{d}{dx} (S_0 c dy) / U$, $E_s = \left\{ \frac{d}{dx} (B_s \cdot U_s) + W_0 \right\} / U_s$

$Rui = g C B_s / U^2$ 但し、 $U_s = S_0 c dy / S_0 c dy$, $B_s = S_0 c dy / S_0 c dy$, W_0 ; 沈降速度である。図-7, 8 K E_m , E_s 及 over all Rui 数との関係を示す。図中の数字は粒子と流体との代表幅比 B_s/B_m であり、実線は小松によて得られた密度噴流についての理論値である。これらの図及び前述したように粒子濃度が高いほど、粒子、流体双方の代表幅が抑制されることから、双方の連行係数は Rui 数の增加 K 伴い急激に減少することが解る。粒子と流体の代表幅の比が 0.40 よりも大きい所では幅比 K ように連行係数は Rui 数の半分以下と規定され、通常の密度噴流的挙動を示すことが解る。一方、代表幅の比が 0.40 より小さくなると連行係数は幅比 B_s/B_m とともに減少するようである。また、 E_m , E_s を比べると、ノズル出口付近で粒子の沈降速度 K 比べて流速の十分大きい領域では、ノズルより離れるにつれて双方とも急激に減少しているが、流速が減少するにつれて粒子の沈降 C より B_s/B_m が次第に減少し、それ K 伴い E_m の方が E_s K 比べ小さくなるようである。この点について、図-4,

5 で示しておいた。粒子と流体の幅の増加割合が異なることからもある程度推察される。このことは、流体と粒子の幅 K 連が生じ始めると底面付近で生じる大きな鉛直方向密度勾配のため粒子を含む層から上方へ(上層部)への乱れの輸送が更に抑制されたため噴流界面で乱れ強度が弱められるためと考えられる。故に、流体の連行は、急激に減少し代表幅の比 B_s/B_m が比較的小さい時 K、ほとんどOK しているようである。図-9 K 単位時間単位面積当たりの堆積量 W_s の流れ方向の変化を示す。図中に沈降フラックス $W_0 \times C_m$ (W_0 : 沈降速度, C_m : 壁面濃度) より算定した量を示している。双方とも一致し、堆積量はノズルから離れるにつれて漸減していく。1 m 付近まで堆積した粒子の総量は約 2 割である。今後は、本論文で得た知見を基に粒子の堆積量の予測算定式を求めたい。(参考文献 1)。

猪東一郎, 小松利夫: 2 次元表面密度噴流における流れの特性と運行現象

土木学会論文報告集 第273号 '78年5月 図-8 E_s と Rui の関係

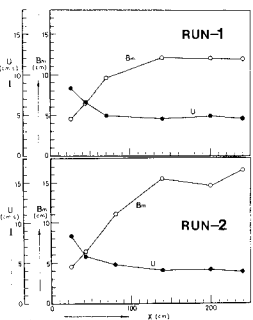


図-4 U , B_m と X の関係

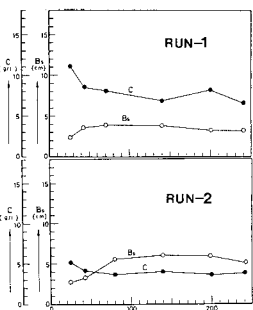


図-5 C , B_s と X の関係

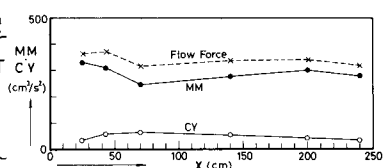


図-6 M_m , C_y と X の関係

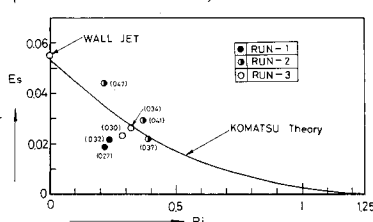


図-7 E_m と Rui の関係

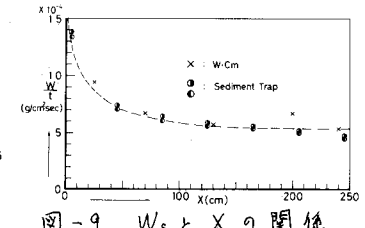


図-9 W_s と X の関係